

東京都立大学工学部 正会員 坂田新太郎
 中央大学理工学部 正会員 水口 優

はじめに

波の非線型性を示すパラメーターとして、(1)式に示されるような水位の履歴分布についての3次および4次のモーメントである歪度および尖鋭度がいられることがある。この問題について既に谷田¹⁾、木村・岩垣²⁾、柳沼・石田・門司³⁾等によって論じられている。歪度を支配するパラメーターとして、谷田は $H_s^2/(H_0L)$ 、木村・岩垣は $Tm\sqrt{g}/\omega$ を用いている。しかし、いずれも歪度の変化を十分に説明してはいないように思われる。近年、著者等は16mmメモーションカメラシステムを用いて砕波帯近傍の波の現地観測を実施している。これを現地観測のゲーターの解析中、谷田・永井⁴⁾が与えている他のパラメーター H_s/g を用いて歪度をプロットしたところ図-1に示すように、沖合より砕波点までの範囲において、歪度と H_s/g がよい相関を示した。阿字ヶ浦と夏海のゲーターを統一的に説明すべく解析を試みた。

解析

$$\text{歪度: } \beta_1 = \frac{\overline{\eta^3}}{\overline{\eta}^3} \text{ , 尖鋭度: } \beta_2 = \frac{\overline{\eta^4}}{\overline{\eta}^4} \quad \dots (1)$$

まず、水位は(2)式によって示されるような波の連りによって与えられると考える。

$$\eta = \sum_{i=1}^n a_i \{ \cos(\omega_i t + \epsilon_i) + \alpha_1 \cos 2(\omega_i t + \epsilon_i) + \alpha_2 \cos 3(\omega_i t + \epsilon_i) \dots \} \quad \dots (2)$$

ここに η は水位、 a_i は振幅、 ϵ_i は位相のそれぞれランダムである。以下計算の便のため(2)式の代わりに(3)式を用いることにする。

$$\eta = a(\cos \omega t + \alpha_1 \cos 2\omega t + \alpha_2 \cos 3\omega t \dots) \quad \dots (3)$$

$$\text{平均: } \mu = \frac{1}{T} \int_0^T \eta(t) dt \quad \dots (4)$$

$$\begin{aligned} \text{標準偏差: } \overline{\eta^2} &= \frac{1}{T} \int_0^T \eta^2(t) dt = \frac{a^2}{T} \int_0^T \{ \cos^2 \omega t + 2\cos \omega t (\alpha_1 \cos 2\omega t + \alpha_2 \cos 3\omega t \dots) + \alpha_1^2 \cos^2 2\omega t + \\ & 2\alpha_1 \cos 2\omega t (\alpha_2 \cos 3\omega t + \alpha_3 \cos 4\omega t + \dots) + \alpha_2^2 \cos^2 3\omega t + 2\alpha_2 \cos 3\omega t (\alpha_3 \cos 4\omega t + \dots) + \dots \} dt \\ &= \frac{a^2}{2} (1 + \alpha_1^2 + \alpha_2^2 + \alpha_3^2 \dots) \quad \dots (5) \end{aligned}$$

$$\begin{aligned} \overline{\eta^3} &= \frac{1}{T} \int_0^T \eta^3(t) dt = \frac{a^3}{T} \int_0^T \{ \cos^3 \omega t + 3\cos \omega t (\alpha_1 \cos 2\omega t + \alpha_2 \cos 3\omega t \dots) + 3\cos \omega t (\alpha_1^2 \cos^2 2\omega t + \alpha_2^2 \cos^2 3\omega t \dots) \\ & + 2\alpha_1 \cos 2\omega t (\alpha_2 \cos 3\omega t + \alpha_3 \cos 4\omega t \dots) + 2\alpha_2 \cos 3\omega t (\alpha_3 \cos 4\omega t + \alpha_4 \cos 5\omega t \dots) \} dt \end{aligned}$$

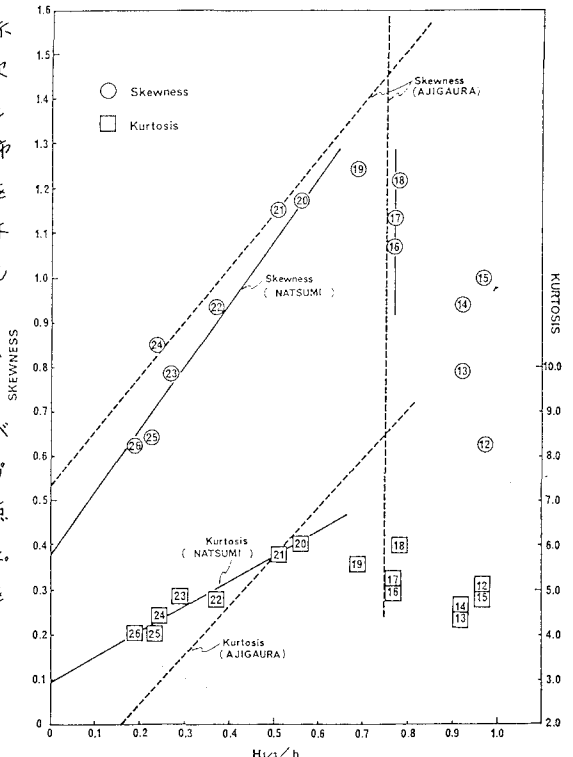


図-1 歪度と波高水深比の関係

$$= \frac{J\alpha^2}{2} \left(\frac{\alpha_1}{2} + \frac{\alpha_1^2 \alpha_3}{2} \dots \dots + \alpha_1 \alpha_2 + \alpha_2 \alpha_3 \dots \dots \right) \dots \dots (6)$$

α_2 以下を無視すると、

$$\sqrt{\beta_1} = \frac{\bar{\eta}^2}{\eta_{rms}^2} = \frac{\frac{3}{4} \alpha^2 \alpha_1}{\frac{\alpha^2}{2} (1 + \alpha^2)} = \frac{3}{4} \cdot \frac{2\sqrt{2} \alpha_1}{(1 + \alpha^2)} \approx \frac{3}{\sqrt{2}} \alpha_1 (1 - \frac{3}{2} \alpha^2) \approx \frac{3}{\sqrt{2}} \alpha_1$$

フーリエ波を用いると、

$$\alpha_1 = \frac{aL}{4} \cdot \frac{\cosh kh (\cosh 2kh + 2)}{(\sinh kh)^2} \quad \text{左辺} \rightarrow 0 \text{に近似的に } \alpha_1 \approx \frac{aL}{4} \cdot \frac{1}{(L/h)^2} \quad \therefore \sqrt{\beta_1} = \frac{3}{\sqrt{2}} \cdot \frac{1}{4} \cdot \frac{aL}{L/h^2} \propto \frac{a}{h} \left(\frac{L}{h} \right)^2 \quad (7)$$

(7)式はアーセル数を意味する。

ここで $\sum \alpha_i$ の代表を $H/3$, L とし L はより微小振幅波を計算された波長を用いて、

$$\text{Skewness} = \sqrt{\beta_1} \propto \frac{H/3}{h} \cdot \left(\frac{L}{h} \right)^2 \quad \dots \dots (8)$$

現地観測

プロットに用いた現地観測は昭和53年7月5日、および12月13日に茨城県那珂湊市阿字ヶ浦海岸の建設増土工事研究所の漂船観測用栈橋を利用し実施したものである。前者については既に第26回海岸講演会⁶⁾および *Costal Engineering in Japan Vol. 23* に報告している。後者の観測の一部12月14日に実施したものにについては水口・松田⁷⁾によって報告されている。プロットされている他の1つのデータは同じく茨城県大洗港の南約2kmあたりの夏海海岸で昭和55年8月24日に観測したものである。観測の詳細は近く発表する。観測に用いた年表は阿字ヶ浦と全く同じであり、栈橋の代りに汀線近くに垂直に足場を用いている。

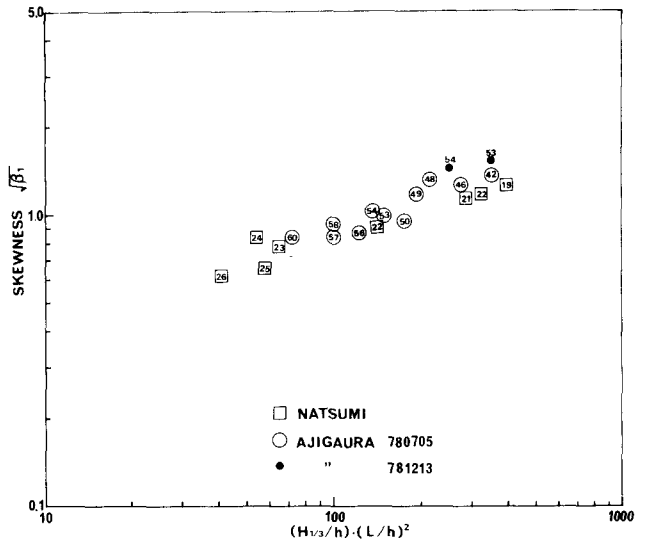


図-2 歪度とアーセル数との関係

結果

図-2に結果を示す。阿字ヶ浦は海底勾配1/60~1/70程度の緩やかな勾配の海岸である。観測時の夏海海岸は夏期バームが発達し、Swash zoneは1/15程度の急勾配であり、水深1m以深では約1/40程度の緩勾配であった。海岸の性林は相違があっても、図-2からアーセル数と歪度の間に統一的な関係を示すことができる。図-2からアーセル数と歪度の間に統一的な関係を示すことができる。

参考文献

- 1). 谷田良梁 (1975) : 浅海における波浪の解波変形, 港湾技術研究所報告, 第14巻, 3号 pp.59-106
- 2). 木村・岩垣 (1976) : 水深変化にともなう不規則波の水位変動分布について, 31回講演, Ⅱ-20
- 3). 柳沼・石田・門司 (1968) : 大瀬海岸における波浪推算の1例, 第15回講演集 pp.69-72
- 4). 谷田・永井 (1974) : 波浪の統計的性質に関する調査・解析, 港湾技術研究所報告, 第13巻, 1号 pp.4-38
- 5). 塚田・水口 (1979) : 砕波帯内の波の現地観測, 第26回海講演文集, pp.152-156
- 6). Hotta, S., M. Mizuguchi (1980) : A field study of waves in the surf zone, *Costal Eng. in Japan, Vol. 23* pp.59-80
- 7). 水口・松田 (1980) : 現地不規則波の浅海変形について, 第27回海講演文集, pp.134-138